

**EKO-CONNECT**

LABORATORIUM BADAWCZE PÓL ELEKTROMAGNETYCZNYCH

EKO-Connect Sp. z o.o.

60-591 POZNAŃ, ul. MIODOWA 14A

Tel. 790 200 181

Tel. 790 004 761

e-mail: laboratorium@eko-connect.pl

AB 1810

SPRAWOZDANIE NR OS/0564/24

Z POMIARÓW NATĘŻENIA PÓL ELEKTROMAGNETYCZNYCH

WYKONANYCH DLA CELÓW OCHRONY ŚRODOWISKA

Miejsce wykonania badania:	ZAW7100A	
	42-450 Rokitno Szlacheckie, Długa dz. nr 1575, pow. zawierciański, woj. ŚLĄSKIE	
Współrzędne geograficzne:	50°25'38.50"N 19°26'19.60"E	
Data wykonania pomiarów:	24.05.2024	
Data wydania sprawozdania:	24.05.2024	
Zleceniodawca:	P4 sp. z o.o. ul. Wynalazek 1 02-667 Warszawa	
Sprawozdanie wykonał:	Sprawdził:	Autoryzował:
Mateusz Maliszewski Specjalista ds. analiz i wizualizacji wyników	mgr inż. Wojciech Lubiński Kierownik ds. jakości	mgr inż. Wojciech Lubiński Kierownik ds. jakości

1. INFORMACJE O UŻYTKOWNIKU ¹

- **Zleceniodawca:** P4 sp. z o.o. ul. Wynalazek 1, 02-667 Warszawa
- **Typ obiekt:** Instalacja radiokomunikacyjna zainstalowana na wieży kratowej
- **Numer obiektu:** ZAW7100A
- **Adres obiektu:** 42-450 Rokitno Szlacheckie, Długa dz. nr 1575, pow. zawierciański, woj. ŚLĄSKIE
- **Współrzędne geograficzne:** 50°25'38.50"N 19°26'19.60"E

2. CHARAKTERYSTYKA ŹRÓDEŁ PEM ¹

Tabela 1. Parametry systemu nadawczo-odbiorczego

Charakterystyka promieniowania				kierunkowa					
Rzeczywisty czas pracy [h/dobę]				Całodobowa 24h					
Warunki pracy				Znamionowe					
Rodzaj wytwarzanego pola				stacjonarne					
Lp.	Typ nadajnika	Antena Producent / Typ	Azymut [°]	Wysokość środka elektr. anteny [m n.p.t.]	Pasma [Mhz]	Kąt nachylenia [°]	EIRP dla anteny [W]	LON	LAT
1	DBS3xxx/5xxx	Huawei AQU4518R25	90	53	800	0 - 10	2784	19°26'19.60"E	50°25'38.50"N
	1800				2 - 12	19°26'19.60"E		50°25'38.50"N	
	2100				2 - 12	19°26'19.60"E		50°25'38.50"N	
2	DBS3xxx/5xxx	Huawei A704517R0	90	53	900	0 - 10	486	19°26'19.60"E	50°25'38.50"N
3	DBS3xxx/5xxx	Huawei AQU4518R25	210	53	800	0 - 10	2784	19°26'19.60"E	50°25'38.50"N
	1800				2 - 12	19°26'19.60"E		50°25'38.50"N	
	2100				2 - 12	19°26'19.60"E		50°25'38.50"N	
4	DBS3xxx/5xxx	Huawei A704517R0	210	53	900	0 - 10	486	19°26'19.60"E	50°25'38.50"N
5	DBS3xxx/5xxx	Huawei AQU4518R25	330	53	800	0 - 10	2784	19°26'19.60"E	50°25'38.50"N
	1800				2 - 12	19°26'19.60"E		50°25'38.50"N	
	2100				2 - 12	19°26'19.60"E		50°25'38.50"N	
6	DBS3xxx/5xxx	Huawei A704517R0	330	53	900	0 - 10	486	19°26'19.60"E	50°25'38.50"N

¹ Dane pozyskane od Klienta

Tabela 2. Parametry radiolinii

Charakterystyka promieniowania				kierunkowa					
Rzeczywisty czas pracy [h/dobę]				24					
Rodzaj wytwarzanego pola				stacjonarne					
Linia radiowa				Antena					
Lp	Typ nadajnika	Częstotliwość pracy [GHz]	Moc wyjściowa [dBm]	Typ/producent	Średnica anteny [m]	Azymut [°]	Wysokość zainstal. [m]	LON	LAT
1	OPTIX RTN/HUAWEI	80	15,5	0.6-80(VHLP2-80)	0,6	269	50,7	19°26'19.60 "E	50°25'38.50 "N

Inne źródła PEM: W obszarze pomiarowym badanego obiektu **nie występują** inne źródła promieniowania pola elektromagnetycznego, które w zakresie badanych częstotliwości bezpośrednio wpływają na wynik wartości mierzonej natężenia pola.

3. OPIS POMIARÓW

Cel badań: Sprawdzenie dotrzymania dopuszczalnych poziomów pól elektromagnetycznych, w otoczeniu instalacji wytwarzających takie pola.

3.1. Data oraz warunki pomiarów

Data pomiarów	Godzina		Opady	Temperatura [C]		Wilgotność [%]	
	rozpoczęcia pomiarów	zakończenia pomiarów		Minimalna	Maksymalna	Minimalna	Maksymalna
24.05.2024	11:30	13:00	Brak	17,5	17,6	61,5	61,5

3.2. Aparatura pomiarowa:

Tabela 3. Opis zestawu pomiarowego

Nazwa	Typ/model	Numer fabryczny/SN	Świadectwo wzorcowania	Zastosowanie
Szerokopasmowy miernik natężenia pola elektromagnetycznego	NBM- 520	D-2225	LWiMP/W/158/24 z dnia 16.05.2024 (Laboratorium Wzorców i Metrologii Pola Elektromagnetycznego Instytutu Telekomunikacji, Teleinformatyki i Akustyki Politechniki Wrocławskiej)	Pomiary pola elektromagnetycznego
Sonda pomiarowa pola elektrycznego	EF-9091	A-0136		
Szerokopasmowy miernik natężenia pola elektromagnetycznego	NBM- 520	D-2188	LWiMP/W/381/22 z dnia 28.11.2022 (Laboratorium Wzorców i Metrologii Pola Elektromagnetycznego Instytutu Telekomunikacji, Teleinformatyki i Akustyki Politechniki Wrocławskiej)	
Sonda pomiarowa pola elektrycznego	EF-0691	J-0214		
Termohigrometr	Termioplus - S	SN 450823	587/2024 z dnia 01.03.2024 (Instytut Energetyki - Państwowy Instytut Badawczy)	Pomiary wilgotności względnej powietrza Pomiary temperatury powietrza
Odbiornik GPS	Garmin GLO2	1792A-A1156/5PS056463	-	Pomiar współrzędnych geograficznych

3.3. Wyznaczenie niepewności pomiarów:

Ocenę niepewności przyjmuje się zgodnie z procedurą stosowaną w laboratorium.

Wyznaczona rozszerzona niepewność pomiaru dla współczynnika rozszerzenia $k = 2$ dla zestawu pomiarowego z pkt.3.2 w dniu pomiaru wynosi 33,09%.

3.4. Kryteria przedstawiania stwierdzeń zgodności

Niniejsze sprawozdanie zgodnie z zasadami systemu akredytacji zawiera stwierdzenia zgodności.

W przypadku badań poziomów pola elektromagnetycznego w środowisku stwierdzenie zgodności dotyczy rozstrzygnięcia, czy zmierzona wartość opisująca pole elektromagnetyczne przekracza wartość dopuszczalną dla zakresu częstotliwości, w którym pracują źródła podaną w Rozporządzeniu Ministra Zdrowia z dnia 17 grudnia 2019 r. w sprawie dopuszczalnych poziomów pól elektromagnetycznych w środowisku (Dz. U. z 2019 r. poz. 2448).

3.5. Metodyka wykonania pomiarów:

Zastosowano metodę znormalizowaną w oparciu o Rozporządzenie Ministra Klimatu i Środowiska z dnia 6 maja 2022 r. zmieniające rozporządzenie w sprawie sposobów sprawdzania dotrzymania dopuszczalnych poziomów pól elektromagnetycznych w środowisku (Dz.U. 2022 poz. 1121).

3.6. Przepisy prawne:

- Ustawa z dnia 27 kwietnia 2001 r. Prawo ochrony środowiska (Dz.U. 2024 r. poz. 54).
- Rozporządzenie Ministra Zdrowia z dnia 17 grudnia 2019 r. w sprawie dopuszczalnych poziomów pól elektromagnetycznych w środowisku (Dz. U. z 2019 r. poz. 2448).
- Rozporządzenie Ministra Klimatu z dnia 17 lutego 2020 r. w sprawie sposobów sprawdzania dotrzymania dopuszczalnych poziomów pól elektromagnetycznych w środowisku Załącznik do obwieszczenia Ministra Klimatu i Środowiska z dnia 21 listopada 2022 r. (Dz. U. poz. 2630).

3.7. Opis pomiarów

Stacja bazowa ZAW7100A usytuowana jest na wieży kratowej zlokalizowanej pod adresem 42-450 Rokitno Szlacheckie, Długa dz. nr 1575, pow. zawierciański, woj. ŚLĄSKIE. Anteny i moduły RRU zamontowane są na antenowych konstrukcjach wsporczych a urządzenia są w szafie APM zainstalowanej u podnóża wieży. W otoczeniu stacji zlokalizowana jest zabudowa jednorodzinna oraz pola uprawne. Analiza parametrów technicznych wykazała, że urządzenia nadawcze stacji pracują w paśmie częstotliwości zgodnie z tabelą 1 oraz tabelą 2. Moc wyjściowa nadajników doprowadzona jest do anten przy pomocy ekranowanych fiderów.

Pomiary w otoczeniu stacji bazowej wykonano wzdłuż kierunków maksymalnego zasięgu oddziaływania pola elektromagnetycznego na kierunkach osi głównych wiązek anten sektorowych do odległości określonej zgodnie z wytycznymi zawartymi w instrukcji wykonywania pomiarów, podczas rzeczywistej pracy urządzeń wytwarzających pola elektromagnetyczne.

Pomiary wykonano dla średniego pochylecia wiązki liczonego jako średnia arytmetyczna z minimalnej i maksymalnej wartości stosowanego lub planowanego kąta pochylecia. Średnie wartości tilt ustawiane są przez Klienta. W przypadku, gdy na danym azymucie zainstalowano kilka anten, średnia wartości tilt ustawiona jest jednakowa dla wszystkich anten. Przyjmuje się najgorszą wartość spośród anten zainstalowanych na danym kierunku.

Pomiary w przyjętych pionach pomiarowych wykonano w punktach położonych na wysokościach od 0,3 m do 2,0 m nad powierzchnią ziemi lub nad innymi powierzchniami, na których mogą przebywać ludzie, przyjmując za wynik pomiaru maksymalny poziom natężenie pól elektromagnetycznego.

Pomiary wykonano w dodatkowych pionach pomiarowych w lokalach oraz na balkonach i tarasach, na których mogą przebywać ludzie, po poinformowaniu o planowanych pomiarach z minimum 3-dniowym wyprzedzeniem i po umożliwieniu dostępu do lokalu, balkonu lub tarasu przez jego dysponenta lub bez zachowania terminu wskazanego w pierwszej części zdania za zgodą dysponenta przestrzeni pomiarowej.

Punkty pomiarowe wewnątrz budynków oraz na tarasach/balkonach wyznaczono na podstawie przeprowadzonych obliczeń rozkładu pola elektromagnetycznego. Jako wartość graniczną do wyznaczenia odległości zasięgu pola elektromagnetycznego przyjęto wartość 9 V/m. Jest to wartość wypadkowa po uwzględnieniu współczynników odpowiadającym emisji z obcych źródeł promieniowania elektromagnetycznego oraz efekt odbicia fal radiowych. Obliczenia te wykonywane są uwzględniając parametry systemu antenowego dostarczone przez Klienta, W tym obszarze pomiary w budynkach wykonywane są obligatoryjnie. Jeżeli w ww. obszarze nie zlokalizowano żadnych budynków dodatkowo wyznaczono reprezentatywne budynki, wewnątrz których wykonano dodatkowe pomocnicze punkty pomiarowe.

Przy doborze pionów pomiarowych uwzględniono charakter i sposób zagospodarowania terenu otaczającego stację bazową.

3.8. Sposób identyfikacji widma częstotliwości:

Parametry stacji bazowej uzyskane od właściciela instalacji stacji bazowej.

4. WYNIKI POMIARÓW

Wyniki pomiarów ważne są jedynie dla danej konfiguracji urządzeń w dniu, w którym wykonano pomiary.

Wynik pomiaru, to maksymalna wartości chwilowa zmierzona w danym pionie pomiarowym powiększona o rozszerzoną niepewność pomiaru U dla współczynnika rozszerzenia $k = 2$ (dla poziomu ufności 95%).

Tabela 4. Dopuszczalne poziomy pól elektromagnetycznych

Parametr fizyczny Zakres częstotliwości pola elektromagnetycznego	Składowa elektryczna	Składowa magnetyczna
od 400 MHz do 2000 MHz	$1,375 \times f^{0,5}$ V/m	$0,00375 \times f^{0,5}$ A/m
Od 2 GHz do 300 GHz	61 V/m	0,16 A/m

Do wyznaczania wartości wskaźnikowych WM_E i WM_H przyjęto najniższe wartości dopuszczalne poziomów pól elektromagnetycznych w/w zakresów częstotliwości.

Tabela 5. Wyniki pomiarów

Nr pionu	Opis miejsca pomiaru	Pomiar wewnątrz pomieszczenia	Współrzędne geograficzne		Wynik poniżej progu detekcji*	E_p [V/m]	U [V/m]	$E_p + U$ [V/m]	H [A/m]	WME	WMH	Przekroczenie wartości dopuszczalnej
			[°] E	[°] N								
1	Poziom gruntu - oś głównej wiązki anteny sektorowej azymut 330st	NIE	19,438528515	50,427305882	TAK	<0,80	0,27	1,07	0,003	0,04	0,038	nie przekracza
2	Poziom gruntu - oś głównej wiązki anteny sektorowej azymut 330st	NIE	19,438410436	50,427433706	TAK	<0,80	0,27	1,07	0,003	0,04	0,038	nie przekracza
3	Poziom gruntu - oś głównej wiązki anteny sektorowej azymut 330st	NIE	19,438249225	50,427622822	TAK	<0,80	0,27	1,07	0,003	0,04	0,038	nie przekracza
4	Poziom gruntu - oś głównej wiązki anteny sektorowej azymut 330st	NIE	19,437854850	50,428075527	TAK	<0,80	0,27	1,07	0,003	0,04	0,038	nie przekracza
5	Poziom gruntu - oś głównej wiązki anteny sektorowej azymut 330st	NIE	19,437273639	50,428693282	TAK	<0,80	0,27	1,07	0,003	0,04	0,038	nie przekracza
6	Poziom gruntu - oś głównej wiązki anteny sektorowej azymut 330st	NIE	19,436693849	50,429349994	TAK	<0,80	0,27	1,07	0,003	0,04	0,038	nie przekracza
7	Poziom gruntu - oś głównej wiązki anteny sektorowej azymut 90st	NIE	19,438833049	50,427222504	TAK	<0,80	0,27	1,07	0,003	0,04	0,038	nie przekracza
8	Poziom gruntu - oś głównej wiązki anteny sektorowej azymut 90st	NIE	19,439252688	50,427220541	TAK	<0,80	0,27	1,07	0,003	0,04	0,038	nie przekracza
9	Poziom gruntu - oś głównej wiązki anteny sektorowej azymut 90st	NIE	19,440149189	50,427212560	TAK	<0,80	0,27	1,07	0,003	0,04	0,038	nie przekracza
10	Poziom gruntu - oś głównej wiązki anteny sektorowej azymut 90st	NIE	19,441298735	50,427227353	TAK	<0,80	0,27	1,07	0,003	0,04	0,038	nie przekracza
11	Poziom gruntu - oś głównej wiązki anteny sektorowej azymut 90st	NIE	19,442403777	50,427236036	TAK	<0,80	0,27	1,07	0,003	0,04	0,038	nie przekracza
12	Poziom gruntu - oś głównej wiązki anteny sektorowej azymut 210st	NIE	19,438499931	50,427105475	TAK	<0,80	0,27	1,07	0,003	0,04	0,038	nie przekracza
13	Poziom gruntu - oś głównej wiązki anteny sektorowej azymut 210st	NIE	19,438323245	50,426938514	TAK	<0,80	0,27	1,07	0,003	0,04	0,038	nie przekracza

Nr pionu	Opis miejsca pomiaru	Pomiar wewnątrz pomieszczenia	Współrzędne geograficzne		Wynik poniżej progu detekcji*	E _p [V/m]	U [V/m]	E _p + U [V/m]	H [A/m]	WME	WMH	Przekroczenie wartości dopuszczalnej
			[°] E	[°] N								
14	Poziom gruntu - oś głównej wiązki anteny sektorowej azymut 210st	NIE	19,437847894	50,426385650	TAK	<0,80	0,27	1,07	0,003	0,04	0,038	nie przekracza
15	Poziom gruntu - oś głównej wiązki anteny sektorowej azymut 210st	NIE	19,437431002	50,425935960	TAK	<0,80	0,27	1,07	0,003	0,04	0,038	nie przekracza
16	Poziom gruntu - oś głównej wiązki anteny sektorowej azymut 210st	NIE	19,437131087	50,425526092	TAK	<0,80	0,27	1,07	0,003	0,04	0,038	nie przekracza
17	Poziom gruntu - oś głównej wiązki anteny sektorowej azymut 210st	NIE	19,436740262	50,425109709	TAK	<0,80	0,27	1,07	0,003	0,04	0,038	nie przekracza
18	Poziom gruntu - oś głównej wiązki anteny radioliniowej azymut 269st	NIE	19,438426132	50,427214312	TAK	<0,80	0,27	1,07	0,003	0,04	0,038	nie przekracza
19	Poziom gruntu - oś głównej wiązki anteny radioliniowej azymut 269st	NIE	19,438061809	50,427217906	TAK	<0,80	0,27	1,07	0,003	0,04	0,038	nie przekracza
20	Poziom gruntu - oś głównej wiązki anteny radioliniowej azymut 269st	NIE	19,437590675	50,427206858	TAK	<0,80	0,27	1,07	0,003	0,04	0,038	nie przekracza
21	Poziom gruntu - oś głównej wiązki anteny radioliniowej azymut 269st	NIE	19,437179938	50,427210034	TAK	<0,80	0,27	1,07	0,003	0,04	0,038	nie przekracza
22	Poziom gruntu - pomocniczy pion pomiarowy	NIE	19,437566351	50,427584174	TAK	<0,80	0,27	1,07	0,003	0,04	0,038	nie przekracza
23	Poziom gruntu - pomocniczy pion pomiarowy	NIE	19,437737052	50,426881957	TAK	<0,80	0,27	1,07	0,003	0,04	0,038	nie przekracza
24	Poziom gruntu - pomocniczy pion pomiarowy	NIE	19,439012497	50,426854554	TAK	<0,80	0,27	1,07	0,003	0,04	0,038	nie przekracza
25	Poziom gruntu - pomocniczy pion pomiarowy	NIE	19,439071265	50,427760702	TAK	<0,80	0,27	1,07	0,003	0,04	0,038	nie przekracza
26	Poziom gruntu - pomocniczy pion pomiarowy	NIE	19,441018131	50,427813398	TAK	<0,80	0,27	1,07	0,003	0,04	0,038	nie przekracza
27	Poziom gruntu - pomocniczy pion pomiarowy	NIE	19,439404742	50,428597442	TAK	<0,80	0,27	1,07	0,003	0,04	0,038	nie przekracza
28	Poziom gruntu - pomocniczy pion pomiarowy	NIE	19,436303144	50,428242506	TAK	<0,80	0,27	1,07	0,003	0,04	0,038	nie przekracza
29	Poziom gruntu - pomocniczy pion pomiarowy	NIE	19,436081094	50,426438331	TAK	<0,80	0,27	1,07	0,003	0,04	0,038	nie przekracza
30	Poziom gruntu - pomocniczy pion pomiarowy	NIE	19,438952277	50,425431583	TAK	<0,80	0,27	1,07	0,003	0,04	0,038	nie przekracza
31	Poziom gruntu - pomocniczy pion pomiarowy	NIE	19,441249420	50,426327275	TAK	<0,80	0,27	1,07	0,003	0,04	0,038	nie przekracza

Objaśnienia:

$$E_p: E_{poprawne} = E_{wskazane} * C_{d(E)} * C_{f(f)}$$

$E_{wskazane}$ - zmierzona maksymalna wartość chwilowa natężenia pola elektrycznego

$C_{d(E)}$ – charakterystyka dynamiczna sondy – zgodna ze świadectwem wzorcowania

$C_{f(f)}$ – charakterystyka częstotliwościowa sondy – zgodna ze świadectwem wzorcowania

H – wyznaczona wartość natężenia pola magnetycznego z uwzględnieniem współczynnika korekcyjnego oraz rozszerzonej niepewności pomiaru.

WM_E - wartość wskaźnikowa poziomu oddziaływania pól elektromagnetycznych dla miejsc dostępnych dla ludności dla składowej elektrycznej pola.

WM_H - wartość wskaźnikowa poziomu oddziaływania pól elektromagnetycznych dla miejsc dostępnych dla ludności dla składowej magnetycznej pola.

* Wynik poniżej progu detekcji - wartość zmierzona poniżej zakresu akredytacji. Do obliczeń przyjęto wartość zgodną z dolną granicą akredytowanego zakresu pomiarowego metody.

Piony pomiarowe wewnątrz budynków oraz na tarasach/balkonach wyznaczono na podstawie przeprowadzonych obliczeń rozkładu pola elektromagnetycznego zgodnie z wewnętrznymi procedurami laboratorium.

5. WNIOSKI

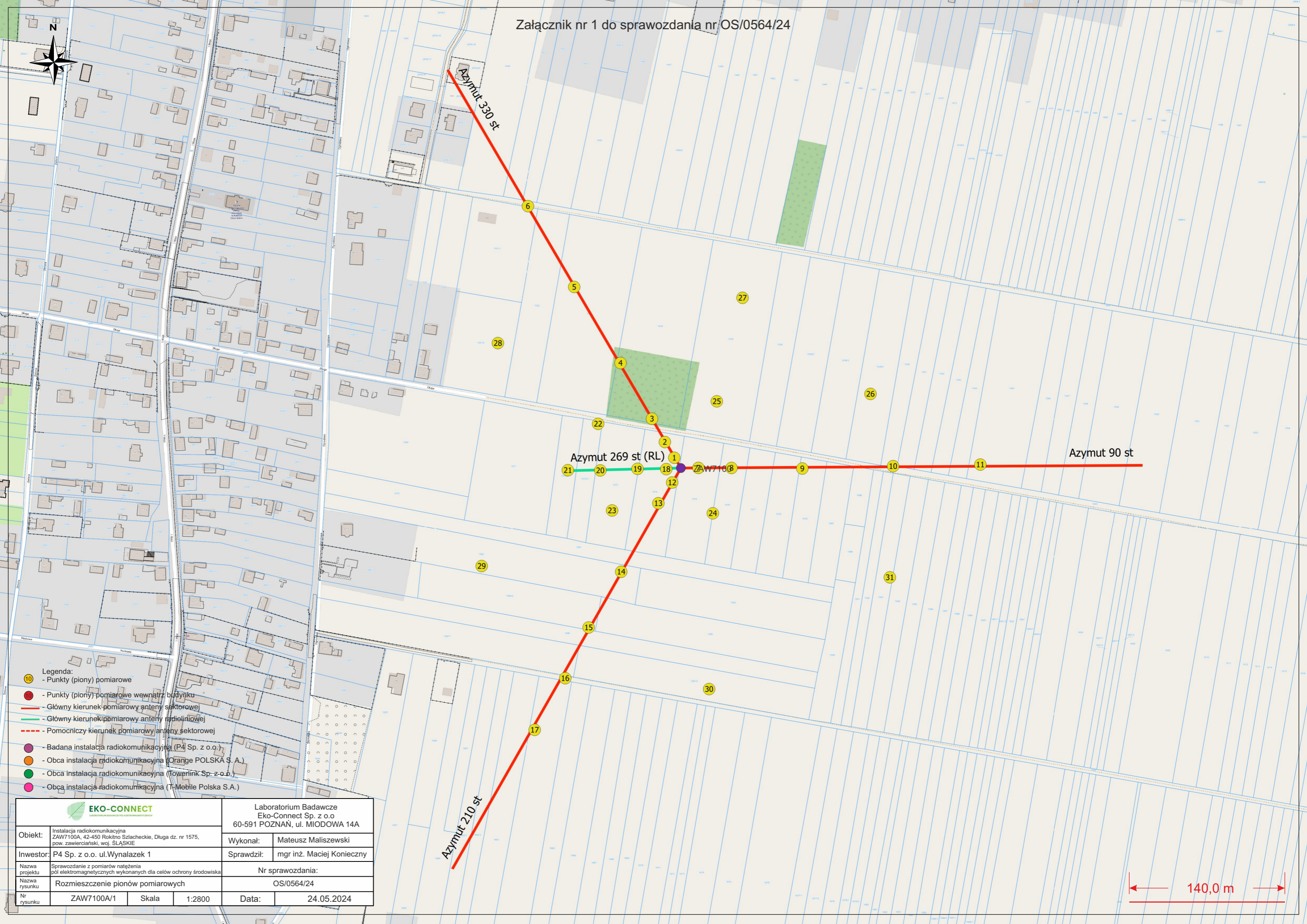
Stwierdza się, iż na podstawie uzyskanych wyników pomiarów i informacji uzyskanych od operatora, w otoczeniu stacji bazowej telefonii komórkowej ZAW7100A w miejscach dostępnych dla ludności, w których dokonano pomiaru, nie zostały przekroczone wartości graniczne poziomów pól elektromagnetycznych określonych w Rozporządzeniu Ministra Zdrowia z dnia 17 grudnia 2019 r. w sprawie dopuszczalnych poziomów pól elektromagnetycznych w środowisku (Dz. U. z 2019 r. poz. 2448).

Stwierdzenie zgodności zostało przedstawione na podstawie wyników badań oraz informacji uzyskanych od Klienta (za które Laboratorium nie ponosi odpowiedzialności) dla instalacji opisanej w punkcie 2. Stwierdzenia zgodności dokonano na podstawie zasady podejmowania decyzji i wymagań zawartych w załączniku do Rozporządzenia Ministra Klimatu z dnia 17 lutego 2020 r. w sprawie sposobów sprawdzania dotrzymania dopuszczalnych poziomów pól elektromagnetycznych w środowisku (Dz.U. 2022 poz. 2630 z 15.12.2022r.).

- Sprawozdanie zawiera 10 stron
- Załączniki: nr 1 – mapa z rozmieszczeniem pionów pomiarowych wokół obiektu
- Otrzymują:
 1. Zleceniodawca: - 1 egz.
 2. a / a: 1 egz.

Bez pisemnego zezwolenia laboratorium Eko-Connect Sp. z o.o. sprawozdanie nie może być powielane inaczej, jak tylko w całości.

KONIEC SPRAWOZDANIA



- Legenda:
- - Punkty (piony) pomiarowe
 - - Punkty (piony) pomiarowe wewnątrz budynku
 - - Główny kierunek pomiarowy anteny sektorowej
 - - Główny kierunek pomiarowy anteny radioliniowej
 - - - - Pomocniczy kierunek pomiarowy anteny sektorowej
 - - Badana instalacja radiokomunikacyjna (P4 Sp. z o.o.)
 - - Obca instalacja radiokomunikacyjna (Orange POLSKA S.A.)
 - - Obca instalacja radiokomunikacyjna (Towerlink Sp. z o.o.)
 - - Obca instalacja radiokomunikacyjna (T-Mobile Polska S.A.)

		Laboratorium Badawcze Eko-Connect Sp. z o.o 60-591 POZNAŃ, ul. MIODOWA 14A	
Obiekt:	Instalacja radiokomunikacyjna ZAW7100A, 42-450 Rokitno Szlacheckie, Długa dz. nr 1575, pow. zawierciański, woj. ŚLĄSKIE	Wykonał:	Mateusz Maliszewski
Inwestor:	P4 Sp. z o.o. ul. Wyzalazek 1	Sprawdził:	mgr inż. Maciej Konieczny
Nazwa projektu:	Sprawozdanie z pomiarów natężenia pól elektromagnetycznych wykonanych dla celów ochrony środowiska	Nr sprawozdania:	
Nazwa rysunku:	Rozmieszczenie pionów pomiarowych	OS/0564/24	
Nr rysunku:	ZAW7100A/1	Skala:	1:2800
Data:	24.05.2024		

